

استعمال طريقة الطبعه وتقنيه البلمرة بالوقت الحقيقى Real-Time PCR في تشخيص
طفيلي المقوسه الكونديه *Toxoplasma gondii* في ذكور الجرذان البيض المصابه تجربيا
بالطفيلى

تاريخ القبول 2014/11/25

تاريخ الاستلام 2014/9/22

مي ناجي الخناق*

غيداء عباس جاسم

قسم علوم الحياة

فرع الاحياء المجهرية

كلية التربية

كلية الطب البيطري

جامعة القادسية

جامعة القادسية

E-mail: ma_na_ka_1979@yahoo.com

الخلاصة

تهدف الدراسه الحاليه الى عزل طفيلي المقوسه الكونديه واحداث الاصابه التجربيه وتشخيص هذه الاصابه باستعمال طريقة الطبعه وطريقه Real-Time PCR في مختلف اعضاء ذكور الجرذان البيض مثل الدماغ، الكبد والخصيه. شملت الدراسه الحاليه 30 من ذكور الجرذان البيض *Rattus norvegicus* بعمر(60-70) يوما وبمعدل اوزان 200-250 غرام. لوحظت الاكياس النسجيه للطفيلي في جميع الطبعات المحضره للاعضاء الدماغ ، الكبد والخصيه وبأعداد واحجام مختلفه. كما كانت نسبة الاصابه بالطفيلى بتقنيه Real-Time PCR في الدماغ 26% بينما كانت في كل من الكبد والخصيه 20%. سجلت الدراسه الحاليه امكانيه عزل طفيلي المقوسه الكونديه وتشخيصه باستعمال طريقة الطبعه المباشره وتقنيه Real-Time PCR في انسجة الاعضاء للحيوانات التجربيه.

. الكلمات المفتاحيه : داء المقوسات ، الطبعه، المشيمه، الاكياس النسجيه, Real-Time PCR

*البحث مستنـد من اطروحة دكتوراه للباحث الثاني

المقدمة

، العيون، العضلات الهيكليه والعضله القلبية (7) ، كما ان المصير النهائي للاكياس النسجيه قد يكون بتحطم تلك الاكياس وتحرر الطور البطيء التكاثر منها او انه قد يتحطم بفعل الاستجابة المناعيه للمضيف (8). يتم تشخيص طفيلي المقوسه الكونديه بالطرق المباشره وغير المباشره فيبينما تستعمل الطرق غير المباشره المصليه بتصوره واسعه للأشخاص المؤهلين مناعيا بالكشف عن الاجسام المضاده للطفيلي IgG, IgM لتمييز الاصابه الحاده عن الاصابه المزمنه تستعمل الطرق المباشره للأشخاص المثبتين مناعيا اذ يتم تشخيص الطفيلي بالعزل والمقاطع النسجيه اضافة الى ان الطفيلي يمكن ان يشخص من خلال خزارات الانسجه ، الدم والبول الكشف عن الماده النوويه 9 Real-Time PCR او DNA للطفيلي بتقنية PCR (ان الجرذان هي النموذج الافضل لدراسة داء المقوسات في البشر ذلك لأن داء المقوسات المزمن فيها مشابهه لداء المقوسات البشري(12). تهدف الدراسه الحاليه الى تشخيص طفيلي المقوسه الكونديه بالاعتماد على طريقة الطبعه المباشره كتشخيص اولي وتأكيد الاصابه بالاعتماد على الطريقه الجزيئيه باستخدام تقنية Real-Time PCR للكشف عن الماده النوويه للطفيلي في كل من الدماغ والكبد والخصيه في ذكور الجرذان المصابه تجريبيا بالعاق الحاوي على الطفيلي والمزعول من نماذج المشيمه للنساء المجهضات المصابات به.

10 دقائق بعدها تم التخلص من العالق ثم عُلق الراسب بالملح الفسلجي واعيدت العمليه ثلث مرات ثم اضيف للناتج 1000 وحده بنسيلين و 100 غم سيتريبتومايسين لمنع التلوث.(13) استعملت شريحة العد haemocytometer بعد الاكياس النسجيه للطفيلي في عالق المشيمه المحضر وتم تخفيض النموذج للوصول الى 300 كيس نسجي لكل مل. تم حقن كل حيوان بـ 0.3 ml من العالق المحضر داخل التجويف البريتوني وبعد ثمانية اسابيع من الاصابه التجاربيه تم تحضير حيوانات التجربه التي تم تخييرها باستعمال 0.3 كيترامين و 0.1 زايلازين ثم اجريت عملية التشريح

ان طفيلي *Toxoplasma gondii* وهو طفيلي داخل خلوي اجباري يمكنه اصابة جميع الخلايا ذات الانوبيه مسببا الامراضيه كما ان له القدرة على التلاعوب وبفعالية في استجابة المضيف والاستفاده منها في

تضاعفه وانتشاره(1)اكتشف لأول مره عام 1908 من قبل Nicolle&Manceaux (2).

تضمن دورة حياة الطفيلي مضيفين هما المضيف النهائي (عائلة القطط) والتي تطرح اكياس البيض مع برازها والمضيف الوسطي (البائن Oocysts والطيور) والتي تتطور في انسجتها كالدماغ وانسجة العضلات الى الاكياس النسجيه tissue cysts بعد ابتلاع اكياس البيض او استهلاك لحوم الحيوانات المصابه غير المطبوخه جيدا كما تكتسب الاصابه عن طريق البيته من التربه الملوشه والماء او الخضروات غير المسوله جيدا او عن طريق الانتقال الشيمي (4,3)، كما قد تنتقل في عمليات نقل الدم ومستلمي الاعضاء (5)، وقد ينتقل عن طريق استهلاك حليب الحيوانات المصابه والحاوي على الطور سريع التكاثر (6) . ان الاكياس النسجيه للطفيلي يمكن ان تتطور في انسجه العديد من الاعضاء كالرئه،الكبد والكلية وهي اكثر شيوعا في الانسجه العصبيه والعضليه بضمونها الدماغ

المواد وطرق العمل

عزل وتحضير الطفيلي

عزل طفيلي المقوسه الكونديه من نموذجي وذئب المشيمه للنساء المجهضات المصابات بالطفيلي حسب طريقه (11) بعد التأكد من وجود الطفيلي في تلك النماذج باستعمال طريقة المسحه المباشره (الطبعه)،اذ تم تقطيع النسيج الى قطع صغيره ومزجه مع كمية متساوية من المحلول الفسلجي وهرسه بالهالون ثم تصفيته بالشاش للتخلص من القطع كبيره الحجم ، بعد ذلك طرد الراشج بجهاز الطرد المركزي بسرعة 3000 دوره/دقيقه لمدة

تم اعتمادها كمصدر للاصابه التجريبية، حضرت الطبعات بفصل الاعضاء المذكورة واخذ جزء من العضو وعمل مسحه على شريحه زجاجيه نظيفه من جهه قطع العضو وعلى امتداد الشريحة الزجاجيه والتي تجف بعد ذلك بالهواء وتثبت باستعمال الكحول المثلث وتصبح بصبغة كيمرا وتحفظ تحت المجهر لرؤيه اطوار الطفيلي (14).

Real-Time PCR

تم تصميم البادئات الخاصة بجين B1 المسؤول عن تشخيص طفيلي المقوسة الكوندية في عينات الانسجة وذلك باستخدام موقع بنك الجينات- Genebank NCBI لاستخراج التسلسل الكامل للجين (B1) ذو الوزن الجزيئي KDa 30 باستخدام برنامج Primer3plus لتصميمه واسخدامه في فحص الـ Real-Time PCR وتم تجهيز البادئات من قبل شركة Bioneer الكورية:

للحصول على الاعضاء الدماغي، الكبد والخصيه لغرض تشخيص الطفيلي في تلك الاعضاء بطريقة الطبعه المباشره او لا ثم تقنية Real-Time PCR ثانيا.

حيوانات التجربه

تضمنت 30 من ذكور الجرذان البيض *Rattus norvegicus* بعمر (60-70) يوما وبمعدل اوزان 250-200 غرام وضعت في اقاصis بلاستيكيه نظيفه ومفروشه بنشاره الخشب التي يتم تغييرها كل ثلاثة ايام وزودت بقناني الارواء والعليقه وبكميات كافيه يوميا اما الظروف المختبريه 25-20 م مع اضاءه لـ 12 يوميا ووجود مفرغه هواء ومرابح ومكيفات.

طريقه الطبعه

تم تحضير الطبعات الخاصه بانسجه مشيمه النساء المجهضات المصايبات بالطفيلي والتي جمعت من صالة الولادة لمستشفى البتول للولادة في مدينة الكوت والتي

الجدول (1): يمثل البادئات التي استخدمت في هذا الدراسة مع تسلسلها النيوكلويوتيدى ونتائج فحص PCR

Primer	Sequence		PCR product
B1	F	'3-GCGACATGGACGAGATGCT-5'	95bp
	R	'3-GTTGGCCTTCGCCGACC- 5 .'	

(Genomic DNA extraction kit USA) الخاصة المجهزة من شركة Geneaid الأمريكية وتم اجراء الاستخلاص حسب تعليمات الشركة كالتالي:

تم قطع 250غم من عينة الانسجة ووضعت في انبوبة قياس 1.5ml وتم اضافة 300 ميكروليتر من محلول حل الخلايا Cell lysis buffer وباستخدام خرزات دقائق Micropesle لسحب النسيج.

حضرت العينات في الحمام المائي وبدرجة حرارة 60° لمدة 10 دقائق لأكمال عملية تحليل الخلايا.

تم اجراء فحص Real-Time PCR وذلك لتحري عن طفيلي المقوسة الكوندية *Toxoplasma gondii* باستخدام البادئات الخاصة بجين B1 ذو الوزن الجزيئي 30 KDa الخاص بالطفيلي وحسب طريقة(15)، وكما يأتي يتكون الفحص من عدة خطوات:

استخلاص الحمض النووي Genomic DNA extraction

تم اجراء استخلاص الحمض النووي من العينات النسيجية لذكور الفئران(15) باستخدام عدة الاستخلاص

(RNA) حيث يتم الكشف الحمض النووي من خلال تحديد تركيز الحمض النووي DNA ng/ μ l وقياس نقاوة الحمض النووي DNA من خلال قراءة الامتصاصية بطول موجي يتراوح بين 260-280 nm (280) وتم استخدام الجهاز النحو التالي :

بعد تشغيل جهاز Nanodrop تم اختيار برنامج قياس الحمض النووي نوع DNA .

قمنا تصفيير ركيزة المقياس مرتين باستخدام ورق شاف خاص بالجهاز وذلك بوضع 1 ملليلتر من(ddH₂O) باستخدام ميكروبايبت معقمة على سطح ركيزة المقياس وجاء التصفيير وبعها قمنا بتنظيف الركيزة لقياس العينات.

3- قمنا بالضغط على زر ok لبدء عملية قياس تركيز ال DNA وذلك باستخدام 1 ملليلتر من كل عينة من ال DNA المستخلص ومن ثم قمنا بتنظيف ركيزة المقياس الجهاز مرة اخرى لقياس العينة الاخرى.

4- وكذلك تم تحديد نقاوة عينات ال DNA المستخلص بقراءة الامتصاصية جهاز Nanodrop على طولين موجيين 260/280 نانوميتر حيث ان الحمض النووي DNA المستخلص يعتبر نقى عندما تكون نسبة الامتصاصية هي (1.8).

تحضير مزيج Real- Time PCR master mix

تم تحضير مزيج تفاعل البلمرة بالوقت الحقيقي باستخدام عدة ال Real-Time PCR AccuPower® 2X GreenStarTM qPCR Bioneer Master Mix المجهزه من قبل شركة الكورية وحسب تعليمات الشركة ، بعد ذلك تم وضع مكونات مزيج تفاعل Real-Time PCR التي ذكرت في الجدول (2) الى انباب بيضاء معتمة حجم 0.2 ml خاصة بجهاز ال Real-Time PCR ومن ثم ونقلت جميع الانباب الى جهاز الطرد المركزي المازج 3000 vortex centrifuge (Exispin)

تم اضافة 100 ملليلتر من محلول Protein Removal Buffer وذلك تحطيل البروتين الخلوي ومزجت جيدا باستخدام جهاز المازج Vortex لمدة 10 ثواني ومن ثم حضنت على الثلاج لمدة 5 دقائق.

وضعت العينات في جهاز الطرد المركزي بسرعة 12000 دورة / دقيقة لمدة 3 دقائق.

نقل السائل الطافي (Supernatant) الى انبوبة معقمة حجم 1.5ml ومن ثم تم اضافة كحول Isopropanol 70% ومن ثم مزجت جيدا باستخدام جهاز ال Vortex لمدة 10 ثواني.

وضعت المزيج في جهاز الطرد المركزي بسرعة 12000 دورة / دقيقة لمدة 5 دقائق.

تم التخلص من السائل الطافي ومن ثم اضيف 300 ملليلتر من محلول الايثانول 70% لغسل حبيبات الحمض النووي.

وضعت المزيج في جهاز الطرد المركزي بسرعة 12000 دورة / دقيقة لمدة 3 دقائق.

تم التخلص من السائل الطافي ومن ثم تركت الانباب الفارغة في الهواء لمدة 10 دقائق.

اخيرا تم اضافة 50 ملليلتر من محلول دارئ الازالة Elution buffer وضعت الانباب في الحمام المائي ودرجة حرارة 60 ملم 30 دقيقة وذلك لاذابة حبيبات الحمض النووي. ومن ثم حزن العينات بدرجة حرارة 20C- لحين اجراء فحص ال Real-Time PCR.

فحص الحامض النووي المستخلص DNA profile

تم الكشف عن الحمض النووي DNA المستخلص من العينات الانسجة(الدماغ، الكبد، الخصية) لذكور الجرذان المستعملة في الاصابة التجريبية وذلك من خلال استخدام جهاز Nanodrop spectrophotometer(THERMO.USA) بالكشف وقياس تركيز الاحماس النووي (DNA and RNA) وقياس تركيز الاحماس النووي (DNA and RNA)

دوره/ دقيقة لمدة 3 دقائق وثم وضعت في جهاز Real- Time PCR

الجدول (2): مكونات مزيج Real- Time PCR master mix

25 μL	2X Green star master mix	PCR master mix
5 μL	DNA template	
1μL	forward primer 10 pmol	
1 μL	reverse primer 10 pmol	
18 μL	DEPC water	
50 μL	Total	

أظهرت نتائج الدراسة الحالية الخاصة بتحديد نسب الاصابة في ذكور الجرذان التي تمت اصابتها تجريبياً بعالق المشيمة الحاوي على الطفيلي وبعد ثمانية اسابيع من الاصابة، اذ ظهر وجود الطفيلي وبنسبة اصابة مرتفعة بلغت 100 % ولجميع الجرذان المحقونة والبالغ عددها 30 جرذ حقن بعالق المشيمة وبالاعتماد على الطبعات والمسحات النسيجية ولجميع الاعضاء المدروسة مع عدم تسجيل فروق معنوية ، اذ ظهرت الاكياس النسيجية للطفيلي في كما في الصورة (1، 2، 3) لكل من الدماغ، الكبد، الخصية . ان استعمال طريقة الطبعه في الكشف عن اطوار الطفيلي تعد طريقة ناجحة للتشخيص الاولى عن وجود الطفيلي في الاعضاء والسوائل الجسميه(17)، اذ تمكنا (18) من عزل الطفيلي واحادث الاصابة التجريبية في 14 جرذا ولم تتفق النتائج التي حصل عليها مع دراستنا في احداث الاصابة اذ كانت الاصابة في 5 جرذان وبنسبة (35.7%) منها ذكور و 3 اناث وتم تشخيص الاصابة بطريقة الطبعه لسائل التجويف البريتوبي، كما تم تشخيص الاصابة بطريقة الطبعه ايضا في الاعضاء اذ وجد الطفيلي في المسحات المحضره لاعضاء الدماغ، الكبد، القلب، الطحال والعقد المفاويه ولكن لم يتم تشخيص في المسحات المحضره من الرئة ، الرحم، العضلات والمصفاق . peritoneum.

حالات الدورات الحرارية لفحص تفاعل السلسلة المتبلمر في الوقت الحقيقي Real- Time PCR Conditions

تم تطبيق الدورات الحرارية لفحص ال Real- Time PCR وذلك بالاعتماد على تعليمات الشركة AccuPower® 2X GreenStarTM لعدة qPCR Master Mix وكذلك من خلال حساب درجة ال Tm الابدائيات وذلك باستخدام جهاز ال MiniOpticon Real-Time PCR system . BioRad. USA

تحليل نتائج فحص تفاعل السلسلة المتبلمر في الوقت الحقيقي Real-TimePCR

تم تحليل نتائج فحص ال Real-Time PCR وذلك من خلال منحى التضخم Amplification plot المعتمد على رقم خط جهد العتبه Throushold المدعى cycle number (CT) value موجبة عندما تتجاوز خط العتبه وكذلك تم تحديد خصوصية الفحص للعينات الموجبة من خلال منحى الانصهار melt peak حيث تكون العينات موجبة اذا كان ظهورها في نفس درجة الانصهار والتي تتراوح في التضخم الحقيقي الجبن من Tm 80-90 °C.

النتائج والمناقشه

سرير التكاثر الطفيلي في الطبعات المحضرية لنماذج الدم والسائل البريتوني للفتران المصابة تجريبياً بالطفيلي خلال الأسبوع الأول من الاصابة،اما(27) فقد سجلت نسبة الاصابة الكلية بطفيلي المقوسات في الارانب الاليفة بطريقة الطبعة والتي كانت 82% منها للذكور 72% وللإناث 92% وفي الفتران المصابة تجريبياً من عالق الدماغ لتلك الارانب فقد شخص وجود الطفيلي بطريقة الطبعة لتلك الفتران وكانت الاصابة الاعلى في نماذج الدماغ، ثم الكبد،الطحال،الرئة،القلب،الخصية،الرحم،الكلية اما اقل اصابة فقد كانت في العضلات مصنفة حسب اعداد الاكياس النسجية الطفيلي في كل عضو، وفي اصابة تجريبية طفيلي المقوسة الكوندية في الارانب فقد تم تشخيص الطور السريع التكاثر لطفيلي في الطبعات الماخوذة من الكبد والكلية بعد سبعة ايام من الاصابة حسب الدراسة التي اجرتها(28)،وفي دراسة تجريبية اجرتها (29) فقد تمكن من احداث الاصابة التجريبية عند حقن الطفيلي المعزول من نماذج المشيمة للنساء والنعاج والماعز في بிச الدجاج وتم تأكيد الاصابة بـ تشخيص الطفيلي في الطبعات المحضرية لراس السائل اللقاني لذلك البيض، بينما كانت نسبة الاصابه في اعضاء الدجاج المحلي في محافظة السليمانية وهي 12.82 ، % 20.51 ، % 38.46 على التوالي حسب الدراسه التي اجرتها(17) وباستعمال طريقة الطبعة ولهذا فهي طريقة ناجحة للكشف الاولى عن وجود الطفيلي في الاعضاء وسائل الجسم.

ان نسبة الاصابة بطفيلي المقوسة الكوندية بـ استعمال طريقة PCR Real Time موزعة حسب الاعضاء المدروسة (الدماغ،الكبد،الخصية) الماخوذة من الجرذان التي حققت بـ عالق المشيمة ان اعلى نسبة اصابة مسجلة كانت في نماذج انسجه الدماغ وبلغت 26% لوجود 10 عينات موجبة من اصل 30 عينة ، اما نسبة الاصابة التي سجلت في الكبد والخصية فقد كانت 20% لوجود 6 حالات موجبة من مجموع 30 عينة كما في الشكل (1)،(2)،(3). ان Real-time PCR سهل

تفق دراستنا مع العديد من الدراسات الاخرى التي سجلت احداث الاصابة التجريبية والكشف عنها بطريقة الطبعة حيث سجل (19) وجود الاكياس النسجية لطفيلي المقوسة الكوندية في السائل المنوي لذكور الجرذان المصابة تجريبياً بطريقة الطبعة ، كما استعملت طريقة الطبعة في الدراسة التي اجرتها (20) اذ كشف عن وجود الطفيلي في نماذج الدماغ للجرذان المصابة تجريبياً ، وفي دراسة (21) تم تحضير طبعات من السائل البريتوني بعد 10 – 14 يوم من الاصابة التجريبية للجرذان بالطفيلي المعزول من نماذج المشيمة للنساء المجهضات وتمت ملاحظة الطور السريع التكاثر فيها وبنسبة 40% وبعد 6 – 8 اسابيع من الاصابة تم تحضير طبعات لاعضاء الدماغ ، الكبد، الطحال، العضلات والكلية لملاحظة الاكياس النسجية لطفيلي والحاوية على الطور بطيء التكاثر فيها، ووجد (22) الطفيلي في الاصابة التجريبية للفتران فقد استعملت طريقة الطبعة ايضاً لكل من الدماغ والرئة لاثبات وجود الطفيلي فيها،اما (23) فقد لاحظت وجود الطور السريع التكاثر الهلالي الشكل ذو النهاية الامامية المستدقنة والخلفية الدائرية لطفيلي في المسحات المحضرية للسائل البريتوني للفتران المصابة تجريبياً بعد 7 ايام من الاصابة اما بعد 5 اسابيع من الاصابة فقد لوحظ وجود الاكياس النسجية لطفيلي في الطبعات المحضرية للدماغ لجميع الفتران التجريبية، وفي الدراسة التي اجرتها (24) عزلت الطفيلي من مصادر متعددة هي اجنحة الصنادل المجهضة، لحوم الصنادل، حليب الصنادل، لحوم فروج اللحم، نماذج ترب الحدائق المنزلية السائل المنوي للرجال في حالي العقم الاولى والثانوي بالإضافة الى مشايم النساء المجهضات بفعل الطفيلي واستعمل كمصدر لـ احداث الاصابة التجريبية للفتران وبعد شهر من الاصابة تم التحري عن وجود الطفيلي بـ وجود الاكياس النسجية وبطريقة الطبعة لجميع مصادر الاصابة لـ جميع فتران التجربة ، اما (25) فقد اثبتت حدوث الاصابة التجريبية بالطفيلي المعزول من اجنحة الصنادل المجهضة في الفتران التجريبية وذلك بـ تحضير طبعات لنماذج الدماغ وتشخيص اكياس الطفيلي فيها، وفي الدراسة التي اجرتها (26) حصل على الطور

للارانب المصابة تجربيا بالطفيلي،اما (35) فقد كان مقاربا معنا في نسبة الكشف عن وجود المادة النووية لطفيلي المقوسة الكوندية في 64 نموذج لسائل النخاع الشوكي لمرضى الايدز باستعمال تقنية Real Time PCR اذ سجل نسبة اصابة كلية بلغت 32.8 %،اما (38) فقد تقارب معنا في تشخيص الطفيلي في مرضى الاصابات العصبية وبنسبة اصابة بلغت 18.8 % في Cerebral Toxoplasmosis اما في المرضى المصابين ببقية الاصابات عصبية فقد انخفضت النسبة عن ما سجلها وبلغت 7.4%.

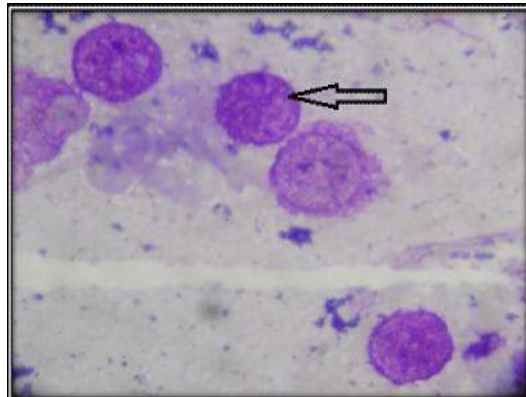
اما في بقية الدراسات التجريبية والتشخيصية عن طفيلي المقوسات فقد اتفقت معنا في تشخيص الطفيلي باستعمال تقنية Real Time PCR ولكنها لم تتفق معنا في انخفاض النسب التي سجلتها مقارنة بالنسب التي سجلت في دراستنا الحالى، وفي ثلاثة انواع من الفوارض استعملت تقنية Real Time PCR لتشخيص الاصابة بالكشف عن وجود المادة النووية للطفيلي في نماذج الدماغ والقلب وبنسبة اصابة بلغت ، 14.3% 10.3% ، 6.5% لكل نوع منها، وفي دراسة مسحية كشف (16) عن الطفيلي في نماذج لعوم الخنازير في مدينة بانكوك في تايلاند وبنسبة اصابة منخفضة بلغت 1.38% ، اما استعمال تقنية PCR Real Time كطريقة تشخيصية في اصابات البشر بداء المقوسات فقد سجلت ولنمذاج مختلفة فقد استعمل(39) نماذج الدم،سائل النخاع الشوكي CSF والسائل الامينيوني Amniotic fluid للكشف عن المادة النووية للطفيلي،اما في نماذج مصل الدم فقد شخص (40) الطفيلي باستعمال تقنية PCR ،اما في الدم،سائل الامينيوني Real Time PCR ،اما في النساء Amniotic fluid وسائل الغدد الملفاوية للنساء الحوامل فقد تم تشخيص الطفيلي من قبل (30) باستعمال تقنية PCR nested و تقنية PCR اما(3) فقد اثبتت وجود المادة النووية للطفيلي في 300 نموذج للسائل الامينيوني Amniotic fluid للنساء الحوامل وبنسبة اصابة بلغت 1.3% ، كما كانت نسبة الاصابة بالطفيلي بين مرضى الايدز 33.6% في نماذج

الاستعمال ذو نتائج اسرع من PCR التقليدية وهو ذو اهمية في التقليل من خطر التلوث (30)، هو شكل محسن موثوق لتحليل PCR يزود ببيانات كمية عن الطفيلي ولانة لا يتطلب فتح انباب الاختبار بعد عملية التضخيم فهو يقلل من خطر التلوث البيئي (31)، يعتمد هذا الاختبار على تضخيم قطع من DNA والتي تكرر 200-300 مرة والتي يتم الكشف عنها في السائل الامينيوني والعديد من الانسجة للفتران المصابة وهو يسمح بتقدير عدد اكياس الطفيلي في الدماغ وهو يستعمل بنجاح لتحديد عيارية الطور سريع التكاثر الموجود في النموذج (32). كما ان لهذه الطريقة معدل منخفض من النتائج الموجبة الكاذبة ولة انواع عديدة مختلفة والتي تسمح بالتشخيص السريع والموثوق فهناك العديد من الدراسات التي تؤكد على انها الطريقة الاكثر موثوقية عند وجود التتابع المستهدف بنسخ متعددة مقارنة بذو النسخة الواحدة(33).اذا يمكن التحليل الجزيئي ان يكشف عن الكمييات القليلة لـDNA فهو اداة تشخيصية حساسة بديلة وان جين B1 هو الجين المستهدف كونة الجين الاكثر حساسية والذي يستعمل بصورة واسعة للكشف عن الطور السريع التكاثر والاكياس في جميع سلالات الطفيلي (34).

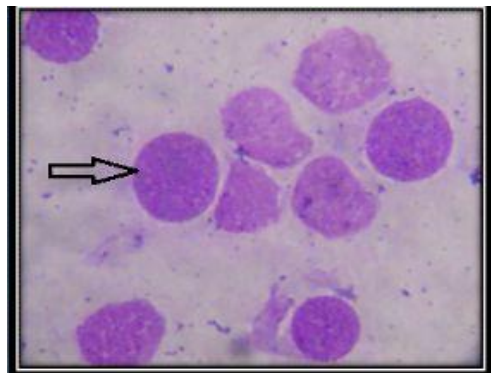
ان تقنية Real Time PCR قد تم تطويرها بنجاح لتكون على درجة عالية من الحساسية والخصوصية كما انها طريقة سريعة للكشف عن المادة النووية DNA الطفيلي في نماذج الدم،سائل النخاع الشوكي،سائل الامينيوني والانسجة (35) اتفقت دراستنا الحالى مع الدراسة التجريبية التي اجرتها (36) على الفتران لتشخيص الاصابة التجريبية في الدماغ اذ سجل وجود الطفيلي ولكنها اختلفت عنا في زيادة نسبة الاصابة بالطفيلي في هذا العضو والتي بلغت 60% ، كما شخص (1) وجود طفيلي المقوسة الكوندية في نماذج الدماغ والخلايا الملفاوية المحيطية للفتران المصابة تجربيا ،اما (37) فقد اتفق مع دراستنا الحالى في تسجيل نسبة اصابة بداء المقوسات بلغت 100% بالكشف عن المادة النووية لطفيلي المقوسات باستعمال تقنية PCR في نماذج السائل المنوي

الكافية تنتج عن تقنية استخلاص DNA اضافة الى ان mg 50 من المادة النوروبية(المضييف+ الطفيلي) المستعملة لكل عينة تفاعل يمكن ان تحتوي على كمية غير كافية من المادة النوروبية للفيقي(43); (42)، كما ان حساسية الاختبار يمكن ان تتأثر بالاخفاء في طريقة العمل او نتيجة لظروف تخزين العينات(44).

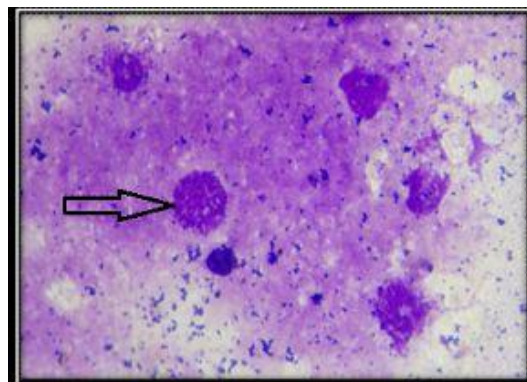
الدم وسائل النخاع الشوكي حسب دراسة (41). ان النتائج التي يتم الحصول عليها قد لا تتفق مع نتائج الاختبارات الاخرى والتي لها درجة كبيرة من الحساسية مقارنة ب PCR كما ان عدم الكشف عن وجود الطفيلي في بعض النماذج للسائل المنوي والانسجة لا يعني عدم وجود الطفيلي فمن المحتمل ان جزء من النتائج السالبة



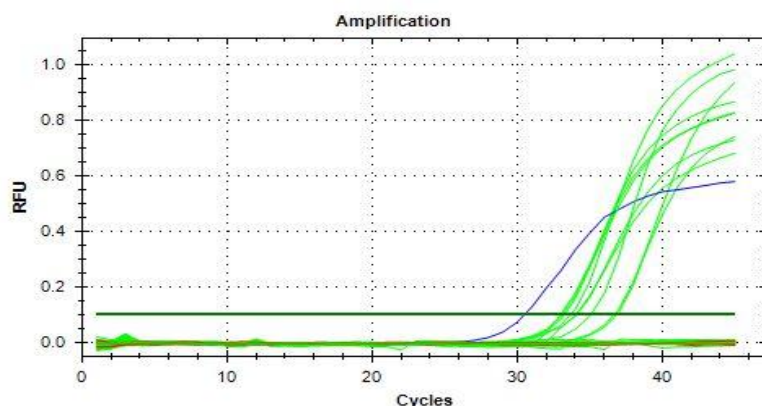
الصورة (1): كيس نسيجي في طبعات لدماغ ذكور الجرذان المصابة تجريبياً بطفيلي المقواست الكوندية والمصبوعة بصبغة كيمزا 100X



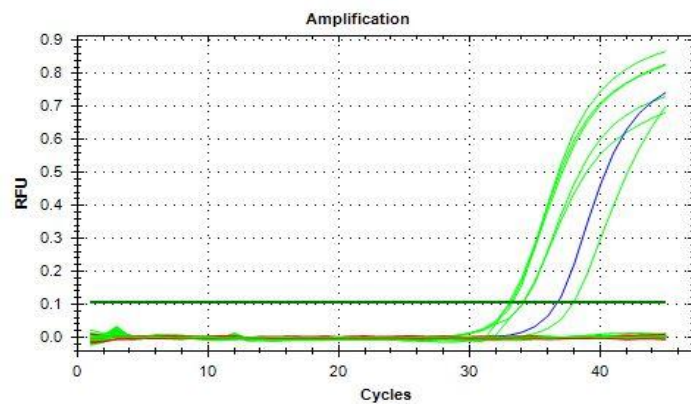
الصورة (2): كيس نسيجي في طبعات لكبد ذكور الجرذان المصابة تجريبياً بطفيلي المقواست الكوندية والمصبوعة بصبغة كيمزا 100X



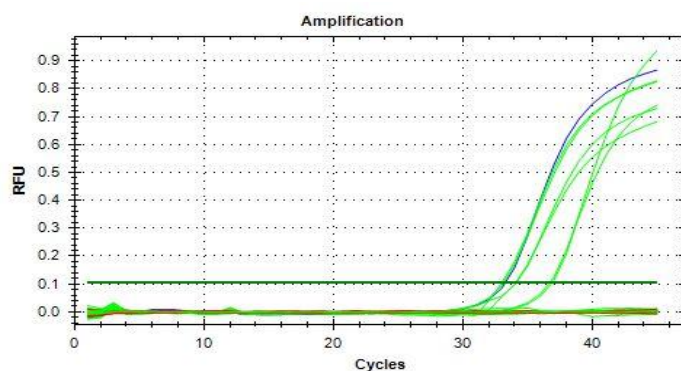
الصورة (3): كيس نسيجي في طبعات لخصيه ذكورالجرذان المصابة تجريبيا بطفيلي المقوسة الكوندية والمصبوعة بصبغة كيمزا 100X



الشكل (1) : مخطط يوضح منحنى التضخم Amplification للعينات الموجبة والسلبية في جهاز RT-PCR لجين B1 ولصبغة Syper Green لطفيلي *T. gondii* في الدماغ لعينات ذكور الجرذان المصابة تجريبيا حققت بعالق المشيمه اذ يمثل المحور السيني X عدد دورات PCR خلال التفاعل بينما يمثل المحور الصادي Y الصبغه المختلفه اذ يلاحظ تضخم حقيقي واضح في العينات الموجبة فوق خط العتبه Threshold line عدم وجود تضخم للجين في العينات السلبية اسفل خط العتبه .



الشكل (2) : مخطط يوضح منحنى التضخم Amplification للعينات الموجبة والسلبية في جهاز RT-PCR لجين B1 ولصبغة Syper Green لطفيلي *T. gondii* في الكبد لعينات ذكور الجرذان المصابة تجريبياً حقت بعالق المشيمه اذ يمثل المحور السيني X عدد دورات PCR خلال التفاعل بينما يمثل المحور الصادي Y الصبغه المتالقه اذ يلاحظ تضخم حقيقي واضح في العينات الموجبه فوق خط العتبه Threshold line و عدم وجود تضخم للجين في العينات السلبيه اسفل خط العتبه.



الشكل (3) : مخطط يوضح منحنى التضخم Amplification للعينات الموجبة والسلبية في جهاز RT-PCR لجين B1 ولصبغة Syper Green لطفيلي *T. gondii* في الخصيه لعينات ذكور الجرذان المصابة تجريبياً حقت بعالق المشيمه اذ يمثل المحور السيني X عدد دورات PCR خلال التفاعل بينما يمثل المحور الصادي Y الصبغه المتالقه اذ يلاحظ تضخم حقيقي واضح في العينات الموجبه فوق خط العتبه Threshold line و عدم وجود تضخم للجين في العينات السلبيه اسفل خط العتبه.

- milk of experimentally infected Wistar female rats, *J. Venom. Anim. Toxins. Incl. Trop. Dis.*,;16(2):368-374
8. Abu-Dalbou M, Ababneh M, Giadinis N, and Lafi S, (2010). Ovine and Caprine Toxoplasmosis (*Toxoplasma gondii*). *IJVST* ; 2(2): 61- 76.
 9. Gharadaghi Y, Shojaee S, Khaki A, Hatef A, Ashtiani H, Rastegar H, and Fathiazad F, (2012). Modulating effect of Allium cepa on kidney apoptosis caused by *Toxoplasma gondii* . *Advanced Pharmaceutical Bulletin*; 2(1),1-6.
 10. Calderaro, A.; Peruzzi,S.; Piccolo,G.; Gorrini,C.; Montecchini,,S.; Rossi,,S.; Chezzi,C. and Dettori,g. (2009). Laboratory diagnosis of *Toxoplasma gondii* infection. *Int. J. Med. Sci.*; 6 (3):135-136.
 11. Asgari q, Keshavarz H, Shojaee S, Motazedian M, Mohebal M, Miri R, Mehrabani D, and Rezaeian M, (2013). In Vitro and In Vivo Potential of RH Strain of *Toxoplasma gondii* (Type I) in Tissue Cyst Forming. *Iranian J. Parasitol.* ; 8(3):367-375
 12. Afshari F, Imani A, Asl S , Farhang H , Ghasempour K , Ezzatzadeh A, and Ainechi N, (2013). Evaluation of Testosterone and Alkaline Phosphatase Activity Changes in Epididymis of *Toxoplasma gondii* Infected Rats, *Int. J. Women's Health Reproduction Sci.*; 1(2): 1-8 .

References

1. Jia, B, ; Lu, H.; Liu,Q. ; Yin , J.; Jiang, N. and Chen, Q.(2013). Genome- wide comparative analysis revealed significant transcriptome changes in mice after *Toxoplasma gondii* infection . *Parasites & Vectors*, 6(161) :1-12.
2. Miro , G ; Montoya, A.; Fisher, M and Fuentes, I . (2008). Toxoplasmosis –an update. *EJCAP*. ;18 (3):246-254.
3. Dabritz, H. and Miller, M.; Atwill,E.; Gardner,I.; Leutenegger,C.; Melli,A.and Conrad,P. (2007). Detection of *Toxoplasma gondii*-like oocysts in cat feces and estimates of the environmental oocyst burden. *JAVMA*; Vol. 231, No. 11 :1-9.
4. Conrad,P. (2007). Detection of *Toxoplasma gondii*-like oocysts in cat feces and estimates of the environmental oocyst burden. *JAVMA*, Vol 231, No. 11 :1-9.
5. Khaki, A . ; Farzadi, L . Ahmadi, S.; Ghadamkheir, E . ; Khaki, A. shojaee, S. and Sahizadeh, R.(2011). Recovery of spermatogenesis by *Allium cepa* in *Toxoplasma gondii* infected rats . *Afr. J. Pharm. Pharmacol* . 5(7):903-907.
6. Dubey J, and Jones J, (2008). *Toxoplasma gondii* infection in humans and animals in the United States, *Int. J. parasitol.* 38 :1257–1278.
7. Costa, VM .and Langoni ,H.(2010). Detection of *Toxoplasma gondii* in the

20. Dalimi, A. and A bdoli, A. (2013). *Toxoplasma gondii* and Male Reproduction Impairment: A new Aspect of Toxoplasmosis Research. Jundishapur J. Microbiol.; 6(8):1-4.
21. Terpisidis K, Papazahariadou M, Taitzoglou I , Papaioannou N, Georgiadis M, and Theodoridis I, (2004). *Toxoplasma gondii*: Reproductive parameters in experimentally infected male rats. Exper. Parasitol. 121: 238–241.
22. Pena, H . ; Soares, R. ; Amaku, M . ; Dubey, J.and Gennari, S.(2006). *Toxoplasma gondii* infection in cats from São Paulo state, Brazil: Seroprevalence, oocyst shedding, isolation in mice, and biologic and molecular characterization. Res Vete. Sci.; 81:58–67.
23. يلسين، ابتسام محسن (2005). تعديل الاستجابة المناعية ضد الإصابة بالمقوسيات الكوندية باستخدام مستخلص السكر المتعدد الدهني لبكتيريا *Escherichia coli* رسالة كلية التربية، جامعة الموصل. 107 صفحة. أغوان، سرى سالم (2005). التحرى عن بعض مصادر العدوى مع دراسة التأثيرات المناعية أطروحة *Toxoplasma gondii* المرضية لطفيلى البيطري،جامعة الموصل. 174 دكتوراه، كلية الطب صفحة.
- 25- عبدالله، دنيا عبد الرزاق (2004). دراسة مصلية ونسığية لداء المقوسيات الكوندية في حيوانات المجزورة والإصابة التجريبية في الفئران. رسالة الموصول. 90 البيطري، جامعة ماجستير، كلية الطب صفحة. Salibay C, and Calveria F, (2006). *Toxoplasma gondii* infection in
13. Abdoli A, Dalimi A, and Movahedin M, (2012). Impaired reproductive function of male rats infected with *Toxoplasma gondii* Inst جAndrologia , 44: 679–687.
14. Alkennay, E. and Hassan , S. (2010). Pathological study on some tissues of rat experimentally infected with *Toxoplasma gondii*. J. Edu. & Sci., 23 (3): 8-17.
15. ALKhaled, M. (2012).Serological and molecular study of toxoplasmosis in chicken and ducks in some regions of middle Euphrates. College of veterinary medicine university of Baghdad, PhD.Pp:135.
16. Yu, T. ; Kim, T. and Cipolla,R. (2010). Real-time Action Recognition by Spatiotemporal Semantic and Structural Forests. BMVC : 1-12.
17. Sutthikornchai, C. ; Mahitikorn, A. and Sukthana, Y . (2013). Quantitative PCR detection of *Toxoplasma gondii* in minced pork from selected morning markets in Bangkok, Thailand . J. Trop. Med Parasito. ;36:68- 74.
18. Mohammed , A. and Abdullah, SH.(2013). Diagnostic Study of Toxoplasmosis in Domestic Chickens in Sulaimani Province . AL-Qadisiya Journal of Vet. Med. Sci.; 12 (2):63-69.
19. Al-taie, I. and Abdulla, s.(2008). *Toxoplasma gondii*: Experimental infection of Isolated local strain in Sulaimani Province . IRAQI J. MED. SCI.;6(3): 60 – 71.

- toxoplasmosis . Clin. Rev. Opinions.; 5(2): 11-17.
- 32 Khater, H.; Khater, N.; Barakat, A. (2013). Serological and molecular studies of ovine and human toxoplasmosis with a trial of treatment of infected ewes. *Sci. J. Vete. Advan.*; 2(11) 157- 68.
- 33 Gunel, T. ; Kalelioglu, I. ; Ermis , H. ; Has , R. and Aydinli , K. (2012). large scale pre-diagnosis of *Toxoplasma gondii* DNA genotyping by real-time PCR on amniotic fluid ., Biotechnol. & Biotechnol. Eq.; 26(2): 2913-291.
- 34 Reischl, U. ; Bretagne, S. ; Krüger, D. ; Ernault, P. and Costa, J .(2003).Comparison of two DNA targets for the diagnosis of Toxoplasmosis by real-time PCR using fluorescence resonance energy transfer hybridization probes. *BMC. Infec. Dis.*;3:1-7.
- 35 Klun, I.; Vujanić, M.; Yera, H.; Nikolić, A.; Ivović, V.; Bobić , B. ; Bradonjić S. ; Camet ,M J. and Djaković, O. (2011). *Toxoplasma gondii* infection in slaughter pigs in Serbia: seroprevalence and demonstration of parasites in blood. *Vete. Res.*; 2011, 42:17: (1-6).
- 36 Shi-guo, L. ; Hai-zhu, Z. ; Xin, L . ; Zhe, Z. Bin, H. (2006). Dynamic observation of polypide in semen and blood of rabbits infected with *Toxoplasma tachyzoites* . *Chin. Med. J.* ; 119(8):701-704.
- 37 Cardona, N. Basto,N. Parra ,B . ; Zea , A. Pardo , C. Bonelo , A. ; Marin , E. (2011). Detection of *Toxoplasma* DNA in the Peripheral Blood of HIV-Positive Philippines *Rattus* spp. confirmed through bioassay in *Mus musculus* . *Vet. arhiv* .; 76 (4): 351-361.
- 26 Aghwan, S. ; Al-Taee , A. and Suliman, E.(2010). Detection of *Toxoplasma gondii* infection in domestic rabbits by using multiple techniques . *Iraqi J.Vete.Scie.*;24 (2) :65-69.
- 27 Barakat A, (2007).Some diagnostic studies on male new zealand Rabbit experimentally infected with *Toxoplasma gondii* strain.global veterinaria.; 1 (1): 17-23.
- 28 الكناني، انتصار رحيم،الحمو ، رضاء ناظم والنعيمي، نبيل عناد صالح ،(2012) . دراسة التغيرات المرضية النسجية وكيمياء النسج لاسخاد النساء والنعام والمعز الخمجة بالمقوسة الكوندية *Toxoplasma gondii* . مجلة الأنبار للعلوم البيطرية،5 . 12-1: (1)
- 29 Calderaro, A . ; Piccolo, G . ; Gorrini, C. ; Zerbini, S. ; Bommezzadri, S. ;Dettori, G and Chezzi, C. Comparison between two Real-time PCR assays and a nested-PCR for the detection of *Toxoplasma gondii* . (2006). *Acta.biomed* .;77: 75-80.
- 30 Pinchart, B.; Bui, M.; Hidalgo, F.; Equy, V.; Marul, R. and Pelloux , H. (2007). ADAPTING A CONVENTIONAL PCR ASSAY FOR *TOXOPLASMA GONDII* DETECTION TO REAL-TIME QUANTITATIVE PCR INCLUDING A COMPETITIVE INTERNAL CONTROL Parasite.;14:149-154.
- 31 Sudan, V. ; Jaiswal , A. and Shanker , D. (2013). Recent trends in the diagnosis of

- Real-time quantitative PCR in cerebral toxoplasmosis diagnosis of Brazilian human immunodeficiency virus-infected patients. *J.Med. Microb.* ; 59:641–647.
- 41 Lopes W, Costa A , Souza F, Rodrigues J, Costa G, Soares V, and Silva G,(2009).Semen variables of sheep (*Ovis aries*) experimentally infected with *Toxoplasma gondii*. *Ani. j. Rep. Sci.* ;111 : 312– 319.
- 42 Scarpelli, L.; Lopes, W.; Migani, M.; Bresciani, K. and Costa, A. (2009). *Toxoplasma gondii* in experimentally infected *Bos Taurus* and *Bos indicus* semen and tissues. *Pesq. Vet. Bras.* ; 29(1):59-64.
- 43 Sroka,J . ; Fatla,A. and Dutkiewicz, J.(2006). Occurrence Of *Toxoplasma gondii* In Water From Wells Located On Farms . *Ann. Agric. Environ. Med.* ;13: 169–175.
- Patients with Neuro- opportunistic Infections by a Real-Time PCR Assay. *J.of Neuroparasitolog* (2):1-6.
- 38 Kupferschmidt , O. ; Kinger , D. ; Held , T.; Ellerbrok , H . ; Siegert , W. and Janitschke ,K .(2001). Quantitative detection of *Toxoplasma gondii* DNA in human body fluids by Taq Man polymerase chain reaction . *CMI* . 7(3): 120-124.
- 39 Amerizadeh , A. ; Khoo, B. ; The, A. ; Golkar, M. ; Karim, I . ; Osman, S. ; Yunus , M . and Noordin , R. (2013). Identification and real-time expression analysis of selected *Toxoplasma gondii* in-vivo induced antigens recognized by IgG and IgM in sera of acute toxoplasmosis patients. *BMC Infect. Dis.*; 13 (287):1-12.
- 40 Mesquita , R . ; Ziegler, P . ; Hiramoto, R .; Vidal , J. and Chioccola , v. (2010).

Using the smear method and Real-Time PCR technique in diagnosis of *Toxoplasma gondii* parasite in white male rats experimentally infected by parasite

Received :22/9/2014

Accepted : 25/11/2014

Ghaidaa Abbas Jasim and May Naji Al-Khanaq*

Department of Biology,College of Veterinary Medicine ,alqadysia University

Department of Biology, College of Science, Wasit University, Iraq.

Abstract

The present study aims to isolate *Toxoplasma gondii* parasite and causing the experimentally infection and diagnosis of this infection by using the smear method and Real-Time PCR technique in different organs of white male rats such as brain, liver and testes . from aborted placentae of infected women and experimentally infection of male rats then diagnosed of this infection by impression smear that produced . The present study included 30 white male rats *Rattus norvegicus* aged (60-70) days averaged weight (200-250)gm . tissue cysts of parasite were presence in all prepared smears of brain ,liver and testes organs in different size and numerous numbers ,the percentage of infection by using Real-Time PCR was 26% in brain and 20% in liver and testes .this study was recorded the possibility of isolation of *Toxoplasma gondii* parasite and and diagnosis by using impression smears method and Real-Time PCR technique in different tissues of the organs of the experimental animals.

Keywords :*Toxoplasma gondii*, placentae ,smears ,tissue cysts, toxoplasmosis.

Zoology Classification QL 700-739.8

*This research is a part of an Ph.D. Dissertation in the case of the second researcher